

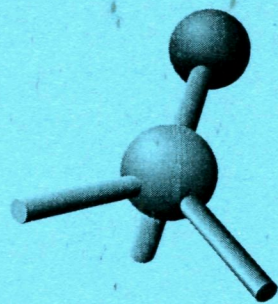


ISSN 0136-7463

РОССИЙСКАЯ АКАДЕМИЯ НАУК

Том 59
Ноябрь
Декабрь
2018

ЖУРНАЛ СТРУКТУРНОЙ ХИМИИ



№ 8

НОВОСИБИРСК

РОССИЙСКАЯ АКАДЕМИЯ НАУК
СИБИРСКОЕ ОТДЕЛЕНИЕ

ЖУРНАЛ
СТРУКТУРНОЙ
ХИМИИ
НАУЧНЫЙ ЖУРНАЛ

Основан в 1960 г.

Выходит 8 раз в год

Т О М 59

Ноябрь-декабрь

№ 8, 2018

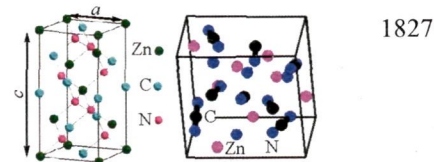
СОДЕРЖАНИЕ

ТЕОРИЯ СТРОЕНИЯ МОЛЕКУЛ И ХИМИЧЕСКОЙ СВЯЗИ

Басалаев Ю.М., Емельянова А.М., Сидорова А.В.

Особенности кристаллической, электронной и колебательной структуры цианидов цинка

Ключевые слова: цианид, ZnCN₂, Zn(CN)₂, Zn(CN)₂, халькопирит, химическая связь

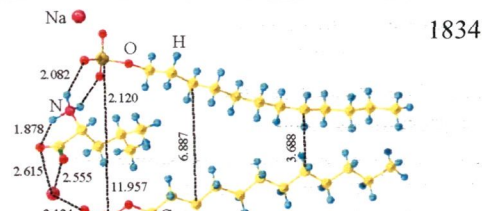


1827

Гиричева Н.И., Курбатова М.С., Тюнина Е.Ю., Баранников В.П.

Квантово-химическое моделирование взаимодействия лейцина с димером додецилсульфата натрия

Ключевые слова: аминокислота, лейцин, димер додецилсульфата натрия, комплексы, квантово-химические расчеты, метод DFT, геометрические и энергетические характеристики

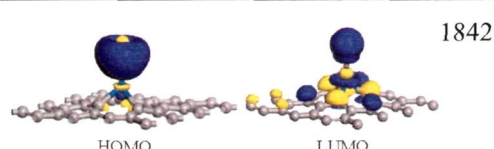


1834

Tong Y.C., Wang Q.Y., Li Z., Yu L.B.

DFT study on the CO catalytic oxidation reaction on the PtCu-embedded graphene

Keywords: CO catalytic oxidation, density functional theory, PtCu/graphene

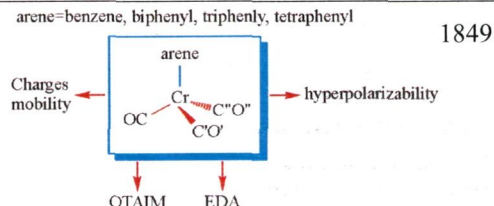


1842

Ardestani E., Ghiasi R., Tabatabai J.M.

Theoretical study of arene ligand effect on the structure and properties of Cr(CO)₃(arene) complexes (arene=benzene, biphenyl, triphenyl, tetraphenyl)

Keywords: arene complex, substituent effect, energy decomposition analysis (EDA), hyperpolarizability



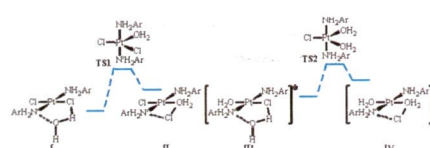
1849

Sadeghi N., Ghiasi R., Jamehbozorgi S.

A computational approach for hydrolysis of the third-generation anticancer drug:

***trans*-platinum(II) complex of 3-aminoflavone**

Keywords: transplatin, anticancer drug, solvent effect, hydrolysis, thermodynamics and kinetics



1856

**Redetermination and density functional studies
of N,N'-(disulfanediyl)dibenzene-2,1-diyl)dipyridine-2-
carboxamide**

Keywords: structural analysis, acyl azide, density functional theory, NBO analysis

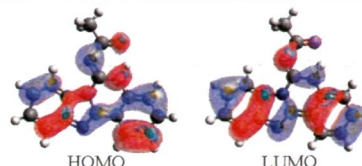


Odam F., Hosten E.C.

1868

**Synthesis, characterization and computational studies
of triazatetracyclo acetamide**

Keywords: triazatetracyclic, acetyl chloride, frontier orbital, HOMO–LUMO

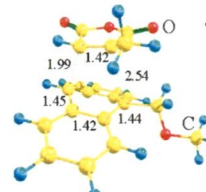


Bazian A., Beyramabadi S.A., Davoodnia A., Bozorgmehr M.R., Pordel M.

1874

**A theoretical investigation on the regioselectivity
of the Diels–Alder cycloaddition
of 9-(methoxymethyl)-anthracene and citraconic anhydride**

Keywords: DFT, Diels–Alder, cycloaddition, regioselectivity, anthracene



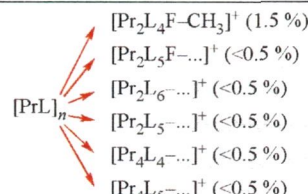
ИССЛЕДОВАНИЕ СТРОЕНИЯ МОЛЕКУЛ ФИЗИЧЕСКИМИ МЕТОДАМИ

Костюк Н.Н., Дик Т.А.

1881

**Масс-спектрометрическое исследование
надмолекулярного строения
трикс-пивалоилтрифторацетоната празеодима**

Ключевые слова: празеодим, масс-спектр, пивалоилтрифторацетон, хелат, олигомеризация

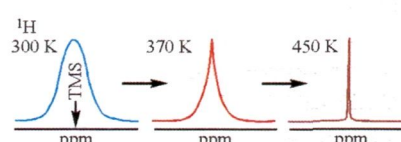


Кавун В.Я., Антохина Т.Ф., Савченко Н.Н., Полянцев М.М., Бровкина О.В.

1888

**Синтез, ионная подвижность и фазовый переход
в соединении $(\text{NH}_4)_6\text{LiHf}_2\text{Zr}_2\text{F}_{23}$**

Ключевые слова: фторид $(\text{NH}_4)_6\text{LiHf}_2\text{Zr}_2\text{F}_{23}$, ионная подвижность, спектры ЯМР

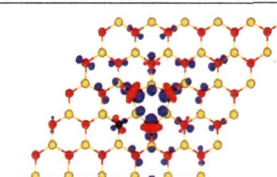


Леднева А.Ю., Далматова С.А., Федоренко А.Д., Асанов И.П., Еняшин А.Н., Мазалов Л.Н., Фёдоров В.Е.

1896

**РФЭС исследование твердых растворов $\text{Mo}_{1-x}\text{Nb}_x\text{S}_2$
($0 < x < 0.15$)**

Ключевые слова: молибден, ниобий, дисульфиды, DFT, рентгенофотоэлектронные спектры

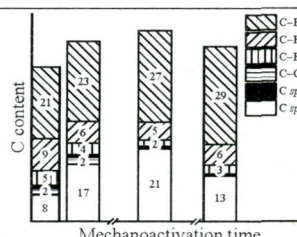


Митъкин В.Н., Асанов И.П., Сагидуллин А.К.

1904

**Изучение особенностей строения углерод-фторуглеродных нанокомпозитов методами РФЭС
и низкотемпературной адсорбции азота**

Ключевые слова: сверхстехиометрический фторуглеродный материал, нанокомпозиты, терморасширенный графит, рентгеновская фотоэлектронная спектроскопия, текстура, мезопоры

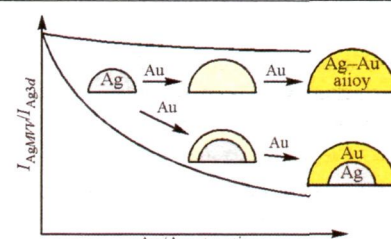


Смирнов М.Ю., Калинкин А.В., Бухтияров В.И.

1912

**Использование данных метода РФЭС для определения пространственного распределения металлов в биметаллических частицах,
нанесенных на плоскую поверхность**

Ключевые слова: серебро, золото, биметаллические частицы, структура ядро-оболочки, рентгеновская фотоэлектронная спектроскопия



Гуда Л.В., Кравцова А.Н., Кубрин С.П., Мазурицкий М.И.,
Киричков М.В., Русланов Ю.В., Шаповалов В.В., Солдатов А.В.

Особенности структуры и химического состава обыкновенного хондрита Jiddat Al Harasis 055

Ключевые слова: спектроскопия XANES,
мессбауэровская спектроскопия, элементное картирование,
зарядовое состояние, рентгеновская дифракция,
обыкновенные хондриты, Jiddat Al Harasis 055

Kichou N., Guechtouli N., Zaater S., Meghezzi H., Hank Z.

DFT calculations and spectroscopic studies of some Ni-dimethylglyoxime based complexes isolated by hydrothermal process

Keywords: никель, диметилглиоксим, гидротермальный процесс,
металлические комплексы, DFT



1921



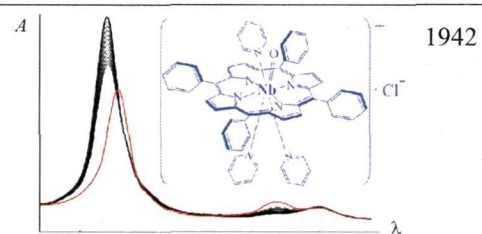
1929

СТРУКТУРА ЖИДКОСТЕЙ И РАСТВОРОВ

Моторина Е.В., Можжухина Е.Г., Ломова Т.Н.

Химическая структура пиридиновых комплексов оксо(5,10,15,20-тетрафенил21Н,23Н- порфинато)хлорониобия(V) по данным термодинамики/кинетики образования и спектроскопии

Ключевые слова: ниобий(V)порфирины, пиридин,
обратимая координация, спектроскопия, химическая структура



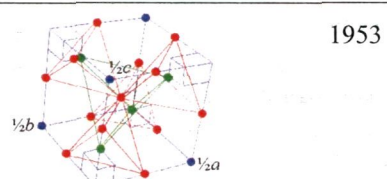
1942

КРИСТАЛЛОХИМИЯ

Борисов С.В., Первухина Н.В., Магарилл С.А.

Вариации атомных конфигураций в стабильных высокосимметрических (кубических) структурах

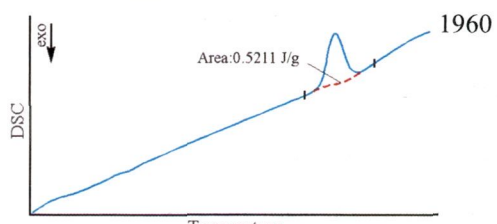
Ключевые слова: кристаллографический анализ,
стабильность – симметрия, шпинель, $(\text{Fe}, \text{Ni})_8\text{AgS}_8$, $\text{KTb}_3\text{F}_{10}$,
 $(\text{Ba}, \text{Pb})_6(\text{Cu}, \text{Fe}, \text{Ni})_{25}\text{S}_{27}$, кристаллохимика (orderdynamics)



Храненко С.П., Сухих А.С., Пищур Д.П., Бунеева П.С.,
Комаров В.Ю., Громилов С.А.

[NiEn₃]WO₄. кристаллоструктурные особенности фазового перехода при 269 К

Ключевые слова: биметаллическая комплексная соль,
tris-этилендиаминникель, вольфрамат-анион,
дифференциально-сканирующая калориметрия,
рентгеноструктурный анализ, кристаллохимия

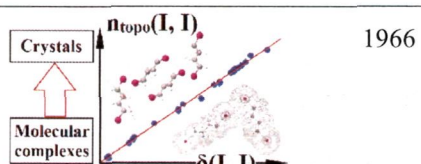


1960

Мухитдинова С.Э., Барташевич Е.В., Цирельсон В.Г.

Индексы порядков связей иода: от молекулярных комплексов к кристаллам

Ключевые слова: иод, индексы порядков связи,
индексы делокализации электронов, галогенные связи

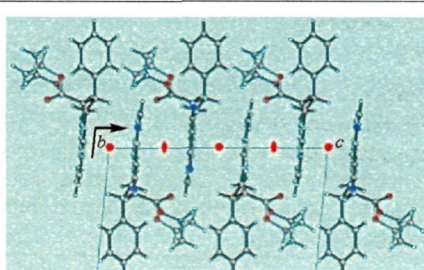


1966

Исмиев А.И., Потехин К.А., Малеев А.В., Аскеров Р.К.,
Магеррамов А.М.

Синтез, молекулярная и кристаллическая структура этил 4,6(R,S)-дифенил-2-дицианометиленциклогекс- 3-ен-1(R,S)-карбоксилата

Ключевые слова: мультикомпонентная конденсация,
акцетоуксусный эфир, бензальцетофенон,
1,3-дикарбонильные соединения, малонодинитрил, молекулярные
агломераты, атом-атомные потенциалы



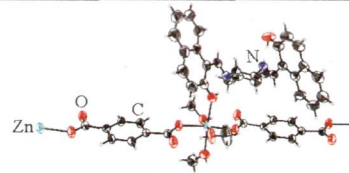
1975

Wang D.-W., Yang B., Zhao N., Shi Z.-J., Wang Y., Yang S.-L.

1982

Crystal structure of a new Zn(II) coordination polymer based on a chiral salen Schiff base

Keywords: crystal structure, chiral Schiff base, Zn(II) complex, coordination polymer

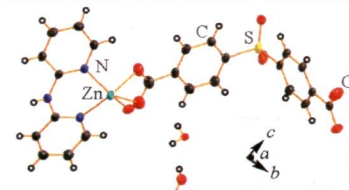


Yuan C., Liu S.N., Xu X.J.

1986

Crystal structure and luminescence of a novel binuclear zinc(II) complex with di-2-pyridylamine and 4,4'-sulfonyldibenzoate

Keywords: Zn(II) complex, di-2-pyridylamine, 4,4'-sulfonyldibenzoic acid, crystal structure, luminescence

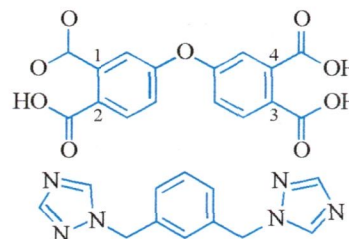


Yuan C., Liu S.N., Xu X.J.

1992

Synthesis, crystal structure and fluorescent property of a one-dimensional coordination polymer constructed by 1,3-bis(1,2,4-triazol-1-ylmethyl)-benzene and 4,4'-oxydiphtalic acid

Keywords: Cd(II) complex, 4,4'-oxydiphtalic acid, 1,3-bis(1,2,4-triazol-1-ylmethyl)benzene, crystal structure, fluorescent property

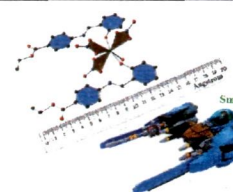


Abu-Yamin A.A., AlDamen M.A., Sinnokrot M.O., Juwhari H.K., Salman M., Sarairah I., Al-hawarin J., Mubarak M.S.

1998

Synthesis, characterization, crystal structure and fluorescence of a new samarium Schiff base complex

Keywords: samarium, Schiff base, fluorescence, crystal structure, Sparkle/PM7

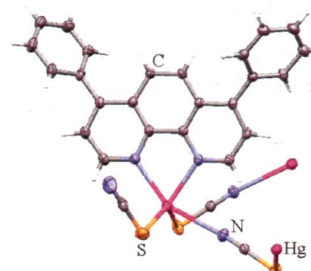


Amani V., Alizadeh R., Khosrojerdy A.

Mercury(II) mixed-ligand coordination polymer constructed from 4,7-diphenyl-1,10-phenanthroline and thiocyanate ligands:

Crystal structure studies, spectroscopic characterization and thermal analyses

Keywords: crystal structure, mercury(II) complex, 4,7-diphenyl-1,10-phenanthroline, thermal gravimetric analysis, differential thermal analysis, luminescence spectroscopy



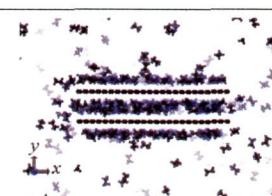
2006

**МАТЕРИАЛЫ XVIII СИМПОЗИУМА
ПО МЕЖМОЛЕКУЛЯРНОМУ ВЗАИМОДЕЙСТВИЮ
И КОНФОРМАЦИЯМ МОЛЕКУЛ
Ярославль, 20-24 июня 2016 г.**

Толмачев А.М., Анучин К.М., Фоменков П.Е., Гумеров М.Р.

2013

Исследование равновесия адсорбции и плотности адсорбатов методом молекулярной динамики



Ключевые слова: адсорбция, изотермы адсорбции, численный эксперимент, молекулярная динамика, щелевидные микропоры, углеродные адсорбенты

Туровцев В.В., Орлов Ю.Д., Каплунов И.А.

Сравнение стандартных функционалов расчета свойств молекул на вариационном пределе

$\Delta E_{elec} \rightarrow 0$
method/
basis set = B3LYP, B1PW91, B3LYP,
BHandH, BHandHLYP,
BLYP, BP, CAMB3LYP,
HTBS, KMLYP, LCY-
BLYP, LCY-BP86, LCY-
PBE, LDA, M06, M06-2X
M06-HF, M06L, mPBE,
mPW, MPW1K, MPW1PW,
O3LYP, OLYP, OPBE,
OPBE0, PBE, PBE0, PBEsol
PW91, revPBE, revTPSS,
RPBE, TPSS, TPSSH,
X3LYP, HF

2021

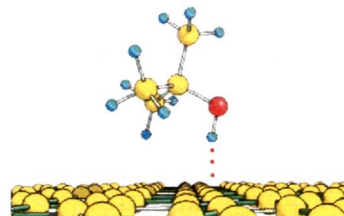
Ключевые слова: слетеровский базис, электронная энергия, энталпия образования, энталпия разрыва связи, погрешности обменно-корреляционных потенциалов, вариационный предел

Терентьев А.В., Варфоломеева В.В.

2028

Водородная связь OH···π_{ГГС} при адсорбции изобутанола, трет-бутанола и трет-амилового спирта на графитированной термической саже

Ключевые слова: водородные связи, константа Генри, молекулярно-статистический расчет, графитированная термическая сажа, теория функционала плотности (DFT)

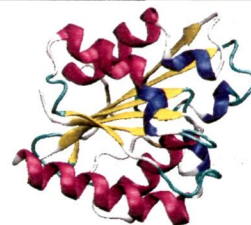


Кондратьев М.С., Кабанов А.В., Самченко А.А., Комаров В.М., Хечинашвили Н.Н.

2035

Параллельные вычисления в разработке термостабильных мутантов липаз

Ключевые слова: липаза, LipA, CLE, термостабильность, молекулярная динамика, биоинженерия, точечные мутации, ферменты

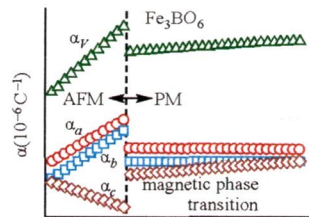


**ШКОЛА ДЛЯ МОЛОДЫХ УЧЕНЫХ
"ТЕРМОРЕНТГЕНОГРАФИЯ И РЕНТГЕНОГРАФИЯ
НАНОМАТЕРИАЛОВ-3"
Екатеринбург, 3-6 апреля 2018 г.**

Бирюков Я.П., Филатов С.К., Вагизов Ф.Г., Зинатуллин А.Л., Бубнова Р.С.

2041

Термическое расширение антиферромагнетиков FeBO₃ и Fe₃BO₆ вблизи температуры Нееля

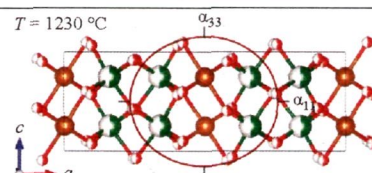


Ключевые слова: бораты железа, антиферромагнетики, терморентгенография, мёссбауэровская спектроскопия, термическое расширение

Гуляева Р.И., Петрова С.А., Чумарев В.М.

2049

Высокотемпературные исследования термического расширения FeNb₂O₆

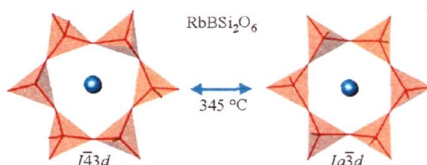


Ключевые слова: ниобат железа, рентгеноструктурный анализ, термическое расширение, анизотропия

Кржижановская М.Г., Бубнова Р.С., Филатов С.К.

2055

Полиморфизм RbBSi₂O₆ и кристаллическая структура его высокотемпературной модификации по данным порошковой дифрактометрии

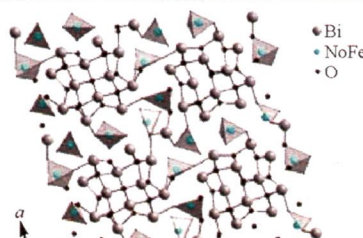


Ключевые слова: боросиликаты, порошковая дифрактометрия, термическое поведение, полиморфизм

Михайловская З.А., Петрова С.А., Буянова Е.С., Абрахамс А.

2061

Высокотемпературные исследования структуры сложных оксидов на основе Bi₂₆Mo₁₀O_{69-d}



Ключевые слова: молибдаты висмута, оксид висмута, кислородно-ионные проводники, высокотемпературная рентгеновская дифракция, высокотемпературная нейтронная дифракция, bismuth molybdate, bismuth oxide, oxygen ion conductors, HTXRPD, HTNPD

Евтушок Б.Ю., Черепанова С.В., Козлова Е.А.

2071

Структура и морфология наночастиц CdS

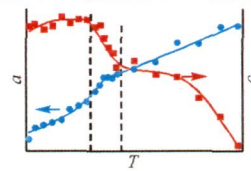


Ключевые слова: дефекты упаковки, форма частиц, моделирование, формула Дебая, DISCUS

Фёдорова О.М., Ведмидь Л.Б.

**Структурные изменения феррита иттербия YBF_2O_4
в интервале температур от -150 до 300 $^{\circ}\text{C}$**

Ключевые слова: феррит железа, рентгеноструктурный анализ, коэффициенты термического расширения

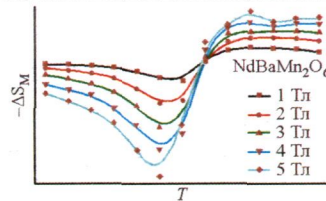


2079

Стерхов Е.В., Упоров С.А.

Трансформация магнитных переходов и кристаллической структуры $\text{NdBaMn}_2\text{O}_6$ при диамагнитном разбавлении ионами Ti^{4+} по Mn-подрешетке

Ключевые слова: двойные мanganиты, упорядочение, магнитокалорический эффект, магнитные фазовые переходы



2083

Указатель статей. Том 59	2090
Авторский указатель. Том 59	2103

Содержание следующего номера — в конце журнала